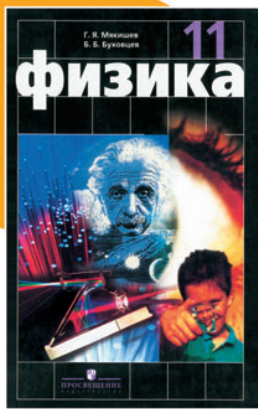


Ю. С. КУПЕРШТЕЙН

bhv®

ФИЗИКА

ОПОРНЫЕ КОНСПЕКТЫ И ДИФФЕРЕНЦИРОВАННЫЕ ЗАДАЧИ. 11 КЛАСС



СООТВЕТСТВУЕТ ГОСУДАРСТВЕННОМУ
СТАНДАРТУ ОБРАЗОВАНИЯ
ПО ФИЗИКЕ

ВЗАИМОДЕЙСТВУЕТ
С ДЕЙСТВУЮЩИМ УЧЕБНИКОМ
Г. Я. МЯКИШЕВА И Б. Б. БУХОВЦЕВА

ИМЕЕТ НЕОБХОДИМЫЙ
И ДОСТАТОЧНЫЙ ОБЪЕМ ЗНАНИЙ,
ПРЕДСТАВЛЕННЫЙ В НАГЛЯДНОЙ
И СЖАТОЙ ФОРМЕ

ПРЕДЛАГАЕТ МНОГОУРОВНЕВУЮ
СИСТЕМУ ЗАДАЧ ДЛЯ РАЗНОГО
УРОВНЯ ПОДГОТОВКИ

СОДЕРЖИТ ВОПРОСЫ ДЛЯ КОНТРОЛЯ
И САМОКОНТРОЛЯ

2-Е ИЗДАНИЕ

Ю. С. КУПЕРШТЕЙН

ФИЗИКА

**Опорные конспекты
и дифференцированные задачи**

Учителю

Ученику

Абитуриенту

11 класс

Санкт-Петербург

«БХВ-Петербург»

2007

УДК 53(075.3)
ББК 22.3я72
К92

Куперштейн Ю. С.

К92 Физика. Опорные конспекты и дифференцированные задачи. 11 класс. — 2-е изд. — СПб.: БХВ-Петербург, 2007. — 88 с.: ил.

ISBN 978-5-9775-0136-1

Книга является дополнительным пособием для изучения физики по учебнику Г. Я. Мякишева и Б. Б. Буховцева (11 класс) и отвечает требованиям Государственного стандарта образования по физике. Курс физики для основной школы представлен в виде опорных конспектов, указаны ссылки на учебник. По каждой теме имеются контрольные вопросы и дифференцированные задачи, позволяющие усваивать содержание предмета учащимся с разным уровнем подготовки по физике. Может применяться для организации учебной деятельности учащихся в классе при очном обучении, экстernате, для домашней и самостоятельной работы.

Для общеобразовательных школ

УДК 53(075.3)
ББК 22.3я72

Группа подготовки издания:

Главный редактор	<i>Екатерина Кондукова</i>
Зам. главного редактора	<i>Людмила Еремеевская</i>
Зав. редакцией	<i>Григорий Добин</i>
Оформление обложки	<i>Елены Беляевой</i>
Зав. производством	<i>Николай Тверских</i>

Лицензия ИД № 02429 от 24.07.00. Подписано в печать 14.06.07.

Формат 60×90^{1/16}. Печать офсетная. Усл. печ. л. 5,5.

Тираж 2500 экз. Заказ №

«БХВ-Петербург», 194354, Санкт-Петербург, ул. Есенина, 5Б.

Санитарно-эпидемиологическое заключение на продукцию № 77.99.02.953.Д.006421.11.04
от 11.11.2004 г. выдано Федеральной службой по надзору
в сфере защиты прав потребителей и благополучия человека.

Отпечатано с готовых диапозитивов
в ГУП «Типография «Наука»
199034, Санкт-Петербург, 9 линия, 12

ISBN 978-5-9775-0136-1

© Куперштейн Ю. С., 2007

© Оформление, издательство «БХВ-Петербург», 2007

ПРЕДИСЛОВИЕ

Пособие содержит комплект опорных конспектов, дифференцированных задач и контрольных вопросов для взаимоконтроля (КВВК).

Опорные конспекты в виде схематических блоков учебной информации (формул, рисунков, символов и т. д.) охватывают все основные темы курса физики 11 кл. и представляют собой целостную структуру.

Оптимальный вариант обучения, когда каждый ученик имеет набор опорных конспектов, а учитель применяет их при изложении нового материала, в ходе опроса, подготовки к зачетам и экзаменам. Учителю целесообразно объяснять материал в классе по опорному конспекту с помощью специально подготовленных кодослайдов, плакатов или воспроизвести его на доске.

КВВК представляют собой «выжимки» из изученного материала — основные понятия, определения, формулы и т. д. Учащиеся отвечают на эти вопросы друг другу с последующей проверкой их учителем.

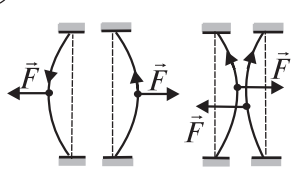
Дифференцированные задачи, составленные или взятые из разных источников, подобраны по степени усложнения: простые (I группа), средние (II группа), повышенной сложности (III группа). Эти задачи обозначены в пособии буквой «Т». Учащиеся самостоятельно выбирают группу задач в зависимости от своих способностей и подготовки. По мере овладения знаниями и навыками они могут переходить к решению более сложных задач. Задачи каждой группы разбиты на блоки, включая домашнее задание, учащиеся должны научиться решать задачи одного блока, одну из которых учитель письменно проверяет на последующем уроке. Для большинства задач даны ответы. По некоторым темам в начале идут задачи, предполагаемые для домашних заданий. Эти задачи обозначены индексом «Д». Необходимость решения всех блоков задач по данной теме решает учитель в зависимости от наличия времени и качественного состава класса. Темы, обозначенные *, изучаются в ознакомительном плане.

Принятые условные обозначения

§ — см. определение в учебниках: Мякишев Г.Я., Буховцев Б.Б., Сотский Н.Н. Учебник для 10 кл. средней школы — М.: Просвещение, 2006; Мякишев Г.Я., Буховцев Б.Б. Учебник для 11 кл. средней школы — М.: Просвещение, 2001.

○ — § учебника, соответствующий данному конспекту.

① Магнитное взаимодействие. Магнитное поле



$$\left. \begin{array}{l} F \neq F_{\text{кул}} \\ F \neq F_{\text{прав}} \end{array} \right\} \Rightarrow F_{\text{маг}}$$



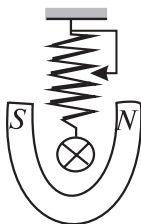
Эрстед (дат.) — вокруг проводника с током существует магн. поле

Свойства магнитного поля:

- порождается током;
- механизм взаимодействия — поле — ток.

② Вектор магнитной индукции

1-3



Опыт: $F_{\text{max}} \sim I \cdot \Delta l$

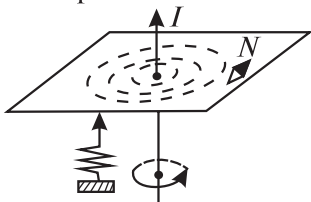
$$\frac{|F_{\text{max}}|}{I \cdot \Delta l} = \text{const} = B$$



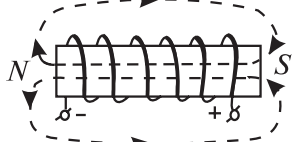
$$[B] = \frac{\text{H}}{\text{A} \cdot \text{м}} = \text{Тл} \text{ (Тесла)}$$

③ Линии магнитной индукции (ЛМИ) — § (стр. 8)

- замкнуты (поле вихревое)
- не пересекаются



ПРАВИЛО БУРАВЧИКА:
если жало ↑↑ I,
то вращ. рукоят. ↑↑ ЛМИ

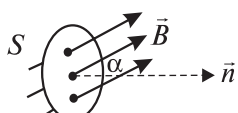


ПРАВИЛО ОБХВАТА РУКИ:
если пальцы ↑↑ I,
то отогн. б/палец ↑↑ ЛМИ

④ Магнитный поток

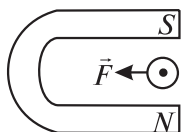
$$\Phi = B \cdot S \cdot \cos(\vec{B} \wedge \vec{n}) = B_n \cdot S$$

$$[\Phi] = \text{Вб} \text{ (Вебер)}$$



9

5 Сила Ампера (на проводник в магнитном поле)

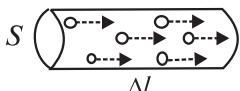


$$F_A = B \cdot I \cdot \Delta l \cdot \sin(I, \vec{B})$$

Направление F_A — правило левой руки — § (стр. 13)

3

6 Сила Лоренца (на частицу в магнитном поле)



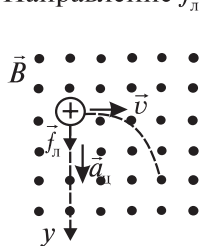
$$F_A = \sum f_l$$

$$f_l = \frac{F_A}{N} = \frac{B \cdot I \cdot \Delta l \cdot \sin \alpha}{N} = \frac{B \cdot q \cdot v \cdot p \cdot S \Delta l \sin \alpha}{N}$$

$$f_l = B \cdot q \cdot v \cdot \sin(\vec{B}, \vec{v})$$

6

Направление f_l — § (стр. 17)



$$ma_u = f_l$$

$$\frac{mv^2}{R} = Bqv$$

$$R = \frac{mv}{qB} - \text{const}$$

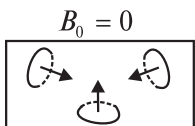
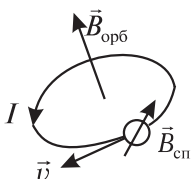
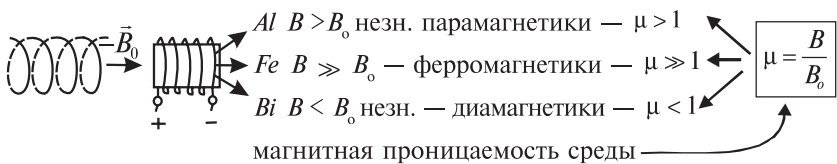
— движение по окружности

Применение f_l :

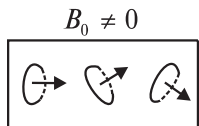
— определение $\frac{q}{m}$
(масс-спектрограф)

— отклонение e^- в кинескопе
— полярные сияния
— циклотрон
— МГД генератор

7 Магнитные свойства вещества



$$\Sigma \vec{B} = 0$$



$$\Sigma \vec{B} \neq 0$$

$$\vec{B}_{\text{атома}} = \vec{B}_{\text{орбит.}} + \vec{B}_{\text{спин.}}$$

$t_{\text{Кюри}}^o$: ферром. \rightarrow парамаг.

7

① **Открытие — Фарадей (англ.) — 1831 г.**

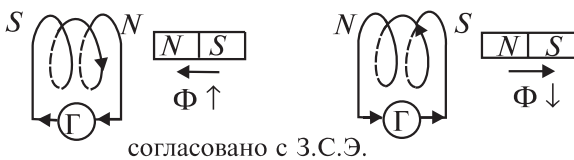
I_i возникает при $\Delta\Phi$ через S контура



8

② **Правило Ленца**

I_i имеет такое направление, что своим м.п. препятствует $\Delta\Phi$, вызвавшего явление индукции

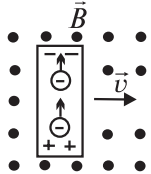


согласовано с З.С.Э.

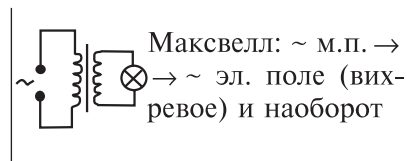
10

③ **Причины Э.М.И.**

а) в движущемся в м.п. проводн. б) в неподв. проводнике в ~ м.п.



q смещаются под
действием f_{\perp}
 $\Delta\Phi$ на концах — \mathcal{E}_i



Максвелл: ~ м.п. \rightarrow
ревое) и наоборот

11-13

④ **Формулы \mathcal{E}_i**

а) Опыт: $I_i \sim \frac{\Delta\Phi}{\Delta t}$, но $I = \frac{\mathcal{E}_i}{R} \Rightarrow \mathcal{E}_i = -\frac{\Delta\Phi}{\Delta t}$ — з-н Э.М.И.

(Замечание: $|\Delta\Phi| = \mathcal{E}_i \cdot \Delta t \Rightarrow [\Phi] = B \cdot c = B\vec{b}$)

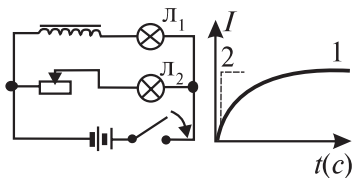
б) $\mathcal{E}_{i \text{ катушки}} = -n \frac{\Delta\Phi}{\Delta t}$

в) $\mathcal{E}_{i \text{ движ. проводн.}} = \frac{A_{\text{ст}}}{q} = \frac{f_{\perp} \cdot l}{q} = \frac{\emptyset \cdot v \cdot B \cdot \sin \alpha \cdot l}{\emptyset} = v \cdot B \cdot l \cdot \sin(\vec{B}, \vec{v})$

5 Самоиндукция

Явление, при котором ~ м.п., создаваемое током в какой-либо цепи, возбуждает \mathcal{E}_i в той же цепи — с/и, а возникающая эдс наз. \mathcal{E}_{ci}

замыкание цепи

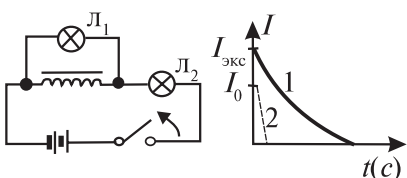


L_1 загорится позже, т. к.

$$\Phi \uparrow \Rightarrow \mathcal{E}_{ci} \uparrow \downarrow \mathcal{E}_{ist}$$

$$I = \frac{\mathcal{E}_{ist} - \mathcal{E}_{ci}}{R_{ob}}$$

размыкание цепи



L_1 ярче вспыхивает, т. к.

$$\Phi \downarrow \Rightarrow \mathcal{E}_{ci} \uparrow \uparrow \mathcal{E}_{ist}$$

$$I = \frac{\mathcal{E}_{ist} + \mathcal{E}_{ci}}{R_{ob}}$$

Может быть $\mathcal{E}_{ci} \gg \mathcal{E}_{ist} \Rightarrow$ масляные выключатели, магнитные пускатели

15,16

6 Индуктивность

$$\mathcal{E}_{ci} = -\frac{\Delta \Phi}{\Delta t}, \text{ но } \Phi \sim B \sim I \Rightarrow \Phi = L \cdot I \Rightarrow \Delta \Phi = L \cdot \Delta I$$

$$\boxed{\mathcal{E}_{ci} = -L \cdot \frac{\Delta I}{\Delta t}}$$

$$L = \left| \frac{\mathcal{E}_{ci} \cdot \Delta t}{\Delta I} \right| \quad [L] = \frac{B \cdot c}{A} = \text{Ом} \cdot c = \Gamma \text{Н} \rightarrow \dots \text{§ (cmp. 41)}$$

... § (cmp. 40) L зависит от:

а) размера проводника $L_1 < L_2$ $L_1 > L_2$ $L_2 > L_1$

б) формы проводника $L_1 > L_2$ (длины одинак.)

в) магнитных св-в среды $L_1 < L_2$ $L_2 > L_1$

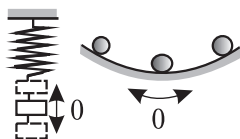
7 Энергия магнитного поля

При замыкании цепи источник совершает « A » против сил вихревого поля $\Rightarrow W$ запасается; при размыкании цепи W выделяется (искра, дуга)

$$\boxed{W = \frac{LI^2}{2}}$$

(Аналогично $E_k = \frac{mv^2}{2}$)

① Свободные колебания — § (стр. 54)



- все к.с. имеют П.У.Р.
- при вывед. из П.У.Р. $\Rightarrow F_{\text{рез}} \rightarrow 0$ к П.У.Р.
- П.У.Р. вследствие инертности
- $F_{\text{тр}} \rightarrow 0$

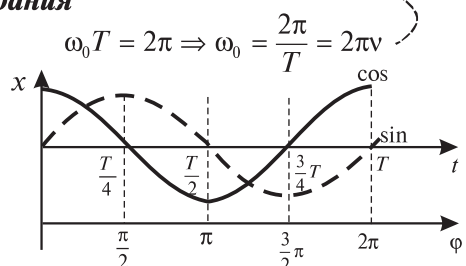
\sim физ. величины: x F a v	постоянные величины: T — период v — частота X_m — амплитуда ω_0 — циклическая частота	$f(\text{колеб. системы})$ $f(E_0)$
--	--	--

② Гармонические колебания

$$x'' \sim -x \quad (\text{по опред.})$$

$$x = X_m \cdot \cos(\omega_0 t + \phi_0)$$

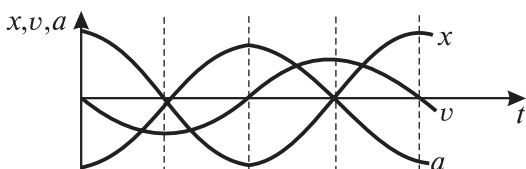
22,23



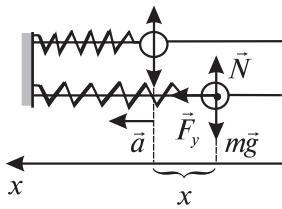
$(\omega_0 t + \phi_0)$ — фаза — величина, стоящая под знаком \cos или \sin уравнения гармонич. колебания, и показывающая, какая доля периода прошла от начала колебания

③ Скорость и ускорение при колебательном движении

$$\left. \begin{aligned} x &= X_m \cdot \cos \omega_0 t \\ v &= x' = -X_m \cdot \omega_0 \cdot \sin \omega_0 t = \omega_0 \cdot X_m \cdot \cos \left(\omega_0 t + \frac{\pi}{2} \right) \\ a &= v' = -X_m \cdot \omega_0 \cdot \omega_0 \cdot \cos \omega_0 t = \omega_0^2 \cdot X_m \cdot \cos (\omega_0 t + \pi) \end{aligned} \right\} a = -\omega_0^2 x$$



4 Груз на пружине



$$m\vec{a} = \vec{F}_y + m\vec{g} + \vec{N}$$

$$x : ma = F_y$$

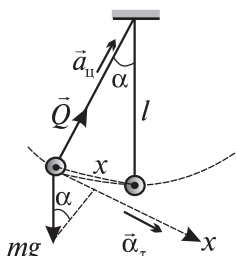
$$a = \frac{F_y}{m} = \frac{-kx}{m} = -\frac{k}{m} x$$

(закон Гука)

$$\frac{k}{m} = \omega_0^2 = \frac{4\pi^2}{T^2} \Rightarrow T = 2\pi\sqrt{\frac{m}{k}}$$

21

5 Математический маятник



$$\frac{g}{l} = \omega_0^2 = \frac{4\pi^2}{T^2}$$

$$m(\vec{a}_\tau + \vec{a}_\alpha) = m\vec{g} + \vec{Q}$$

$$x : ma_\tau = mg \sin \alpha$$

$$a_\tau = g \frac{|x|}{l} = -\frac{g}{l} x$$

$$(\alpha \rightarrow 0 \Rightarrow x \perp l) \quad (\vec{a} \uparrow \downarrow \vec{x})$$

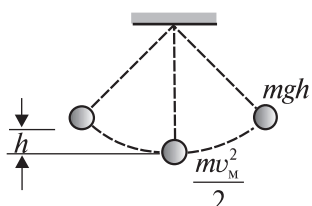
$$a \sim -x$$

$$T = 2\pi\sqrt{\frac{l}{g}}$$

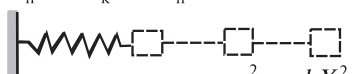
20

формула
Гюйгенса

6 Превращения энергии при колебаниях



$$E_{\text{п}} \rightarrow E_{\text{к}} \rightarrow E_{\text{п}} \rightarrow \dots$$



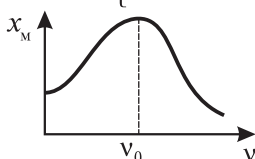
24

7 Вынужденные колебания

$$X_M = f \begin{cases} E_{\text{внешн.}} & T = T_{\text{внешн. силы}} \\ \text{параметров к. с.} & \\ \text{близости } v_0 \text{ и } v_{\text{внешн.}} & \rightarrow \text{при } v_{\text{внешн.}} = v_0 \text{ — резонанс} \end{cases}$$

$v = v_{\text{внешн. силы}}$

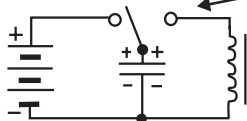
25,26



- разрушение мостов
- вибрация фундаментов, станков, самолет. крыльев
- частотомер (+)

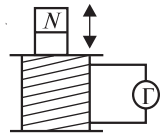
К 11/4 ЭЛЕКТРИЧЕСКИЕ КОЛЕБАНИЯ

1 Бывают свободные и вынужденные



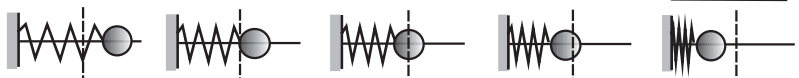
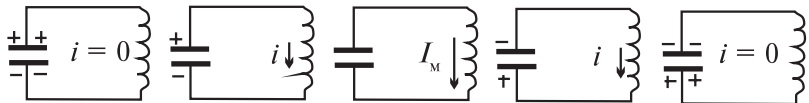
катушка препятств.

ΔI (Ленц!) \Rightarrow колеб. I
достаточно длительные



2 Колебательный контур

$$\frac{Q^2}{2c} \rightarrow \left(\frac{q^2}{2c} + \frac{Li^2}{2} \right) \rightarrow \frac{LI_m^2}{2} \rightarrow \left(\frac{q^2}{2c} + \frac{Li^2}{2} \right) \rightarrow \frac{Q^2}{2c} \rightarrow \dots$$



$$\frac{kx_m^2}{2} \rightarrow \left(\frac{kx^2}{2} + \frac{mv^2}{2} \right) \rightarrow \frac{mv_m^2}{2} \rightarrow \left(\frac{kx^2}{2} + \frac{mv^2}{2} \right) \rightarrow \frac{kx_m^2}{2}$$

Аналогия

$$x = X_m \cdot \cos \omega t$$

$$v = \omega X_m \cdot \cos \left(\omega t + \frac{\pi}{2} \right) = \left\{ \begin{array}{l} x \leftrightarrow q \\ v = x' \leftrightarrow i = q' \\ a = x'' \leftrightarrow i' = q'' \\ m \leftrightarrow L \\ \mu \leftrightarrow R \end{array} \right\} \quad \begin{array}{l} q = Q_m \cdot \cos \omega t \\ i = q' = -Q_m \cdot \omega \cdot \sin \omega t = \\ = I_m \cdot \cos \left(\omega t + \frac{\pi}{2} \right) \end{array}$$

3 Формула Томсона

$$E = \frac{Li^2}{2} + \frac{q^2}{2c} \quad \text{Если } R = 0, \text{ то } E = \text{const}$$

$$\left(\frac{Li^2}{2} \right)' + \left(\frac{q^2}{2c} \right)' = E' = 0 \Rightarrow \frac{L}{2} \cdot 2i \cdot i' = -\frac{1}{2c} \cdot 2q \cdot q'$$

$$\left. \begin{array}{l} i = q' \\ i' = q'' \end{array} \right| L \cdot i \cdot i' = -\frac{q}{c} \cdot q' \Rightarrow Lq'' = -\frac{q}{c} \Rightarrow q'' = -\frac{1}{LC} q$$

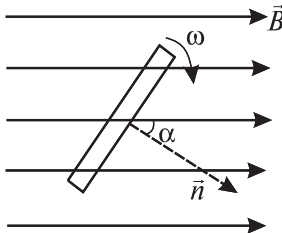
$q'' \sim -q$ — колебания гармонические

27-30

$$\frac{1}{LC} = \omega_0^2 = \frac{4\pi^2}{T^2} \Rightarrow T = 2\pi\sqrt{L \cdot C}$$

ПЕРЕМЕННЫЙ ЭЛЕКТРИЧЕСКИЙ ТОК

① Гармонический характер колебаний e , i , и



$$\Phi = B \cdot S \cdot \cos \alpha = B \cdot S \cdot \cos \omega t$$

$$e_i = -\Phi' = B \cdot S \cdot \omega \cdot \sin \omega t = E_m \cdot \sin \omega t$$

Следовательно:

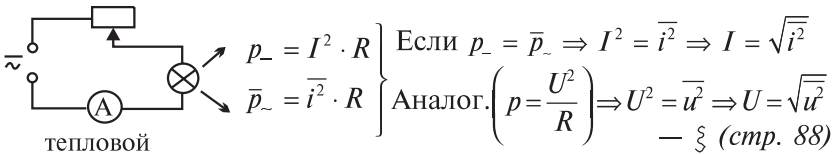
$$i = I_m \cdot \sin \omega t \quad \begin{cases} I = \frac{E}{R+r} \\ U = I \cdot R \end{cases}$$

$$v_{\text{промышлен.}} = 50 \text{ Гц}$$

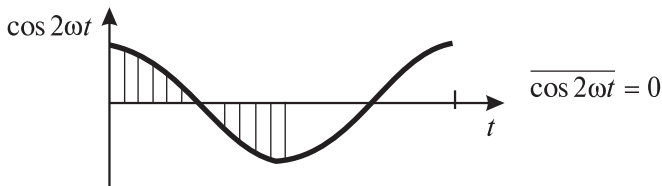
φ — возможный сдвиг по фазе

② « \bar{p} » в цепи ~ тока. Действующие значения « I » и « U »

При ~ токе i , u — изм-ся. Что же показывают $\langle A \rangle$ и $\langle V \rangle$?



$$i = I_m \cdot \cos \omega t \Rightarrow i^2 = I_m^2 \cdot \cos^2 \omega t = I_m^2 \cdot \frac{1}{2} (1 + \cos 2\omega t)$$

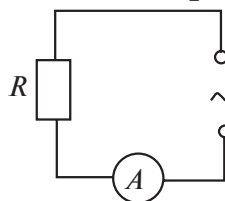


$$\bar{i^2} = \frac{I_m^2}{2} \Rightarrow \bar{p} = \frac{I_m^2}{2} \cdot R$$

$I = \frac{I_m}{\sqrt{2}}$	$U = \frac{U_m}{\sqrt{2}}$
----------------------------	----------------------------

31,32

① Активное сопротивление



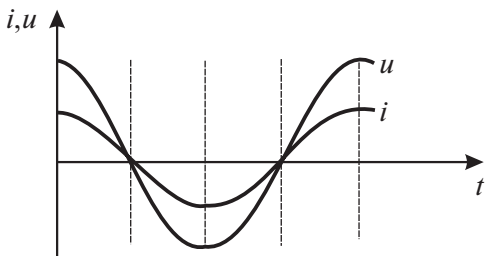
$$u = U_m \cdot \cos \omega t$$

$$i = \frac{U}{R} = \frac{U_m \cdot \cos \omega t}{R}$$

$$i = I_m \cdot \cos \omega t$$

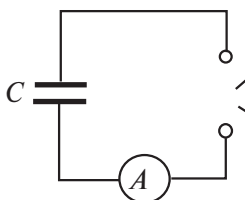
$$R = \rho \frac{l}{S}$$

i и u совпадают по фазе



32

② Емкостное сопротивление

ток: $I = 0$ \sim ток: $I \neq 0$

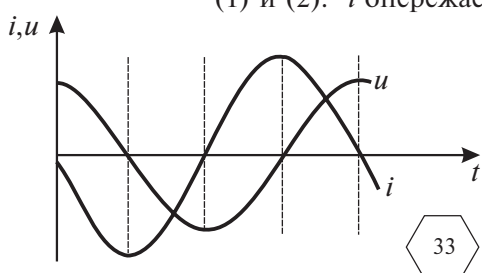
периодич. зарядка
и разрядка — | —
под действием $\sim U$

$$u = U_m \cdot \cos \omega t \quad (1)$$

$$q = C \cdot U = C \cdot U_m \cdot \cos \omega t$$

$$i = q' = -\omega C U_m \cdot \sin \omega t = I_m \cdot \cos \left(\omega t + \frac{\pi}{2} \right) \quad (2)$$

(1) и (2): i опережает u на $\frac{\pi}{2}$ $I_m = \omega c U_m$



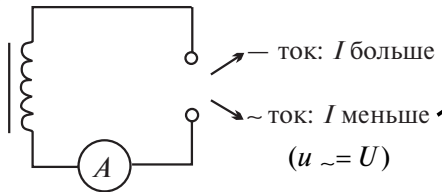
33

$$I_m = \frac{U_m}{\frac{1}{\omega c}}$$

$$x_c = \frac{1}{\omega c}$$

$$I = \frac{U}{x_c}$$

3 Индуктивное сопротивление



самоиндукция

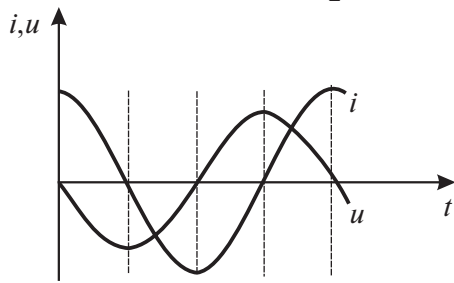
$$i = I_m \cdot \cos \omega t \quad (1)$$

$$(u \approx U)$$

$$e_c = -L \cdot i' = L \cdot I_m \cdot \omega \cdot \sin \omega t$$

Если $R = 0$, то $U = -e_c = -L \cdot I_m \cdot \omega \cdot \sin \omega t = U_m \cdot \cos\left(\omega t + \frac{\pi}{2}\right)$ (2)
 $(iR = U + e_c)$

(1) и (2): u опережает i на $\frac{\pi}{2}$



$$U_m = L \cdot I_m \cdot \omega$$

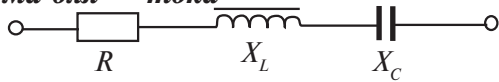
$$I_m = \frac{U_m}{\omega L}$$

$$x_L = \omega L$$

$$I = \frac{U}{x_L}$$

34

4 Закон Ома для ~ тока



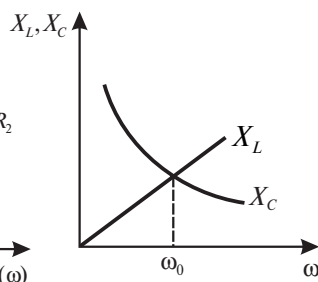
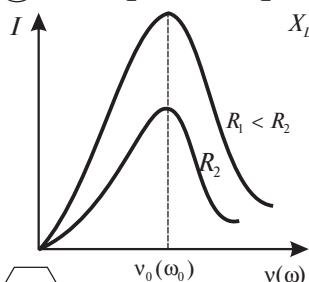
$$U \neq U_R + U_L + U_C$$

$$Z \neq R + X_L + X_C$$

$$I = \frac{U}{\sqrt{R^2 + (X_L - X_C)^2}}$$

$$I = \frac{U}{\sqrt{R^2 + \left(\omega L - \frac{1}{\omega C}\right)^2}}$$

5 Электрический резонанс



35

(+) — радиосвязь (-) — перегоран. приборов

$$I_{\max} : \omega L = \frac{1}{\omega C}$$

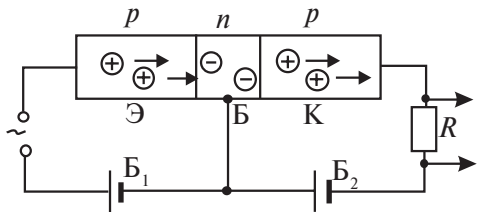
$$\omega^2 LC = 1$$

$$\omega^2 = \frac{1}{LC} = \frac{4\pi^2}{T^2}$$

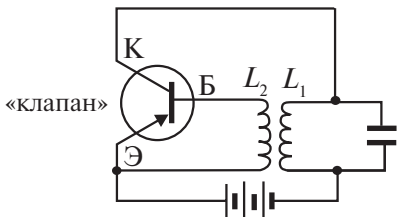
$$T = 2\pi\sqrt{L \cdot C}$$

$$T = T_{\text{собст.}} \quad (v = v_{\text{собст.}})$$

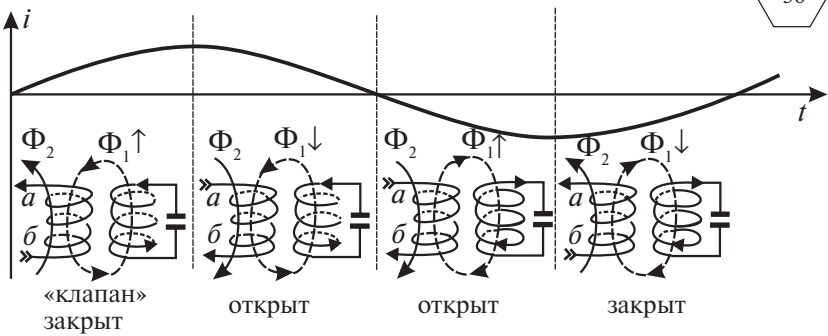
... (смр. 94)



ГЕНЕРАТОР НЕЗАТУХАЮЩИХ КОЛЕБАНИЙ



Задача — получить незатухающие колебания большой v .
Г.Н.К. — автоколеб. система, в которой энергия от источника тока порциями поступает в колебательный контур



36

1-я четв.: по L_1 идет $\uparrow i_1 \Rightarrow$ возник. $\Phi_1 \uparrow$, пересекающий L_2 сверху вниз (правило обхвата правой руки) \Rightarrow в L_2 возник. i_2 , препятствующий $\uparrow \Phi_1$ (Ленц!) $\Rightarrow \Phi_2$ напр. вверх $\Rightarrow i_2$ от b к a (от «*n*» к «*p*») — не может!

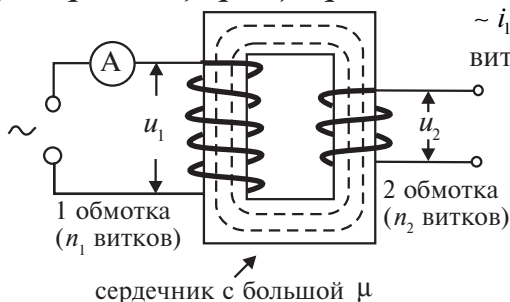
2-я четв.: по L_1 идет $\downarrow i_1 \Rightarrow$ возник $\Phi_1 \downarrow \Rightarrow$ в L_2 возник. i_2 , препятств. $\downarrow \Phi_1 \Rightarrow \Phi_2$ напр. вниз $\Rightarrow i_2$ от a к b (от «*p*» к «*n*») — может!

Итак: $\frac{1}{2}T$ «клапан» закрыт, $\frac{1}{2}T$ открыт (к/контуру пополняет энергию за счет источника тока)

ТРАНСФОРМАТОР

Яблочков, Усагин — конец XIX века

① Устройство, принцип работы



$\sim i_1 \Rightarrow \sim \Phi_1 \Rightarrow e_i$ (в каждом витке обмоток)

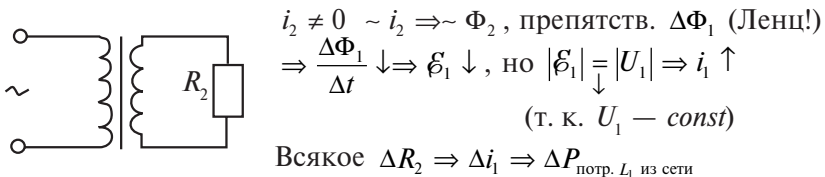
38

② Режим холостого хода ($i_2 = 0$)

Если $R_A \rightarrow 0$, то $U_1 = -\mathcal{E}_1$ ($i_1 R = U_1 + \mathcal{E}_1$)
 $U_2 = -\mathcal{E}_2$ ($i_2 = 0$)

$\frac{U_1}{U_2} = \frac{\mathcal{E}_1}{\mathcal{E}_2} = \frac{n_1 \cdot e}{n_2 \cdot e} = \frac{n_1}{n_2} = k$ коэффиц. ($k > 1 \Rightarrow U_2 < U_1$ — пониж.)
 трансф. ($k < 1 \Rightarrow U_2 > U_1$ — повыш.)

③* Режим нагруженного трансформатора



$i_2 \neq 0 \quad \sim i_2 \Rightarrow \sim \Phi_2$, препятств. $\Delta \Phi_1$ (Ленц!)
 $\Rightarrow \frac{\Delta \Phi_1}{\Delta t} \downarrow \Rightarrow \mathcal{E}_1 \downarrow$, но $|\mathcal{E}_1| = |U_1| \Rightarrow i_1 \uparrow$
 (т. к. $U_1 = \text{const}$)

Всякое $\Delta R_2 \Rightarrow \Delta i_1 \Rightarrow \Delta P_{\text{потр. } L_1}$ из сети

④ Непроизводительные расходы

- а) нагревание обмоток (джоулево тепло)
 - б) перемагничивание сердечника
 - в) нагревание сердечника токами Фуко
 - г) рассеивание магнитного потока
- } К.П.Д. 97–99% \Rightarrow
 $P_1 \approx P_2 \Rightarrow I_1 U_1 = I_2 U_2$
 \Downarrow
 $\frac{U_1}{U_2} = \frac{I_2}{I_1}$

⑤ Передача электроэнергии на расстояние

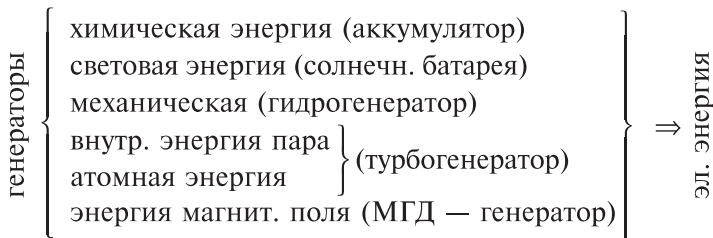
трудность: большое Q на проводах. $Q = I^2 R t = I^2 \frac{\rho l}{S} t$

40

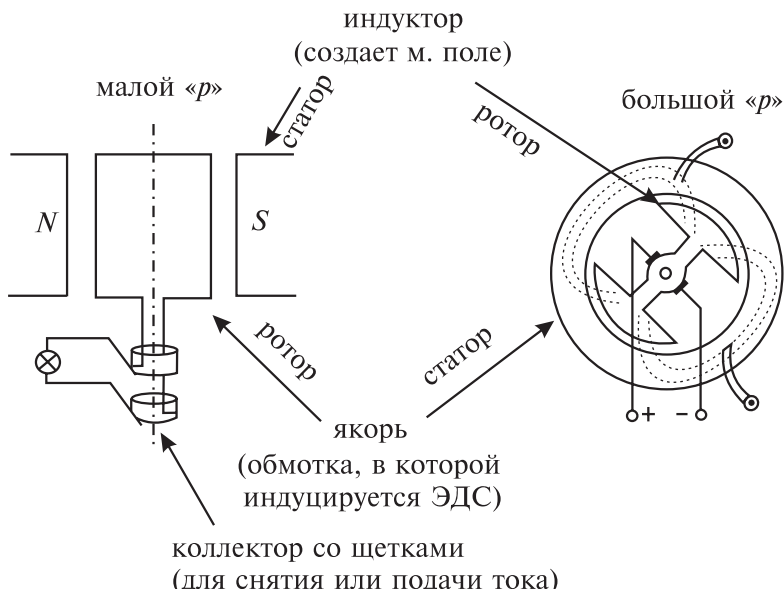


① Преимущества эл. энергии

- 1) можно передавать по проводам
 - 2) можно трансформировать (Δu , Δi)
 - 3) легко превращается в другие виды энергии
 - 4) легко получается из других видов энергии:

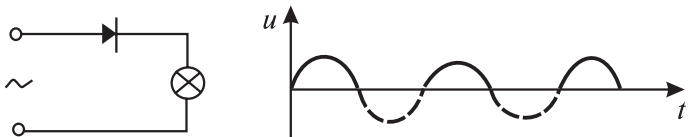


② Устройство индукционного генератора

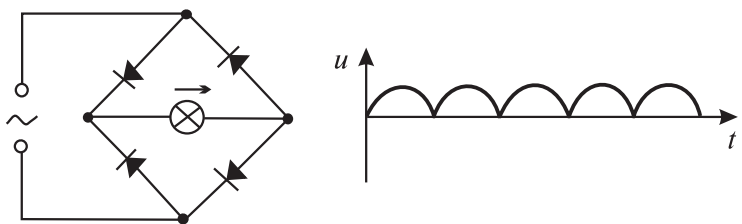


③ * Выпрямление ~ тока

а) однополупериодный выпрямитель



б) двухполупериодный выпрямитель



④ * Успехи и перспективы электрификации



1920 г. — план ГОЭЛРО (за 10 лет увелич. произв. э/энергии в 4 раза, построено 40 эл. станций $P = 4,1$ млн кВт)

1947 г. — 1-е место в Европе

Экибастузский
Канско-Ачинский } бассейны

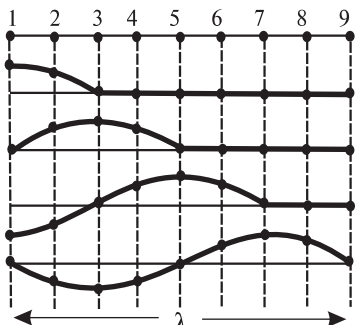
1 Волной наз. ... § (стр. 116)

Причины возникн. волн 

42-44

2 Поперечные волны

(деформ. сдвига — в тв. телах,
на поверх. ж.)

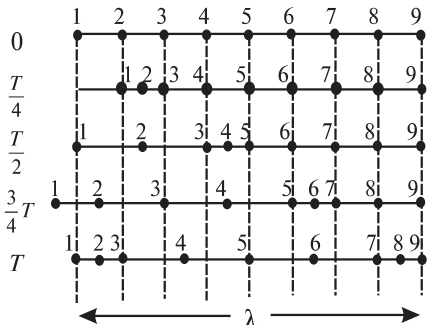
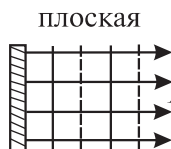


$$\lambda = \xi \text{ (стр. 121)}$$

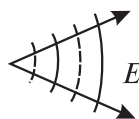
$$v_{\text{в}} = \frac{\lambda}{T} = \lambda \cdot v \quad v_{\text{в}} = f \text{ (св-в среды)} \quad v = f \text{ (источника)}$$

Продольные волны

(деф. сжатия — в г., ж., тв. телах)

**3 Волны в среде**

плоская



кольцевая

сферическая

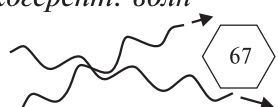


46

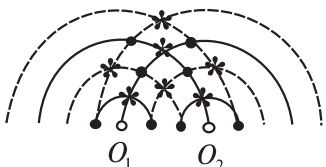
 $\frac{1}{r}$ $\frac{1}{r^2}$ **4 Интерференция волн — наложение когерент. волн**

Когерентные волны — § (стр. 188)

Принцип суперпозиции волн



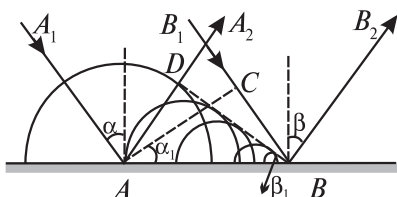
67

 Δd — разность ходаЕсли $\Delta d = 2n \frac{\lambda}{2}$ — max усилен. (*) $\Delta d = (2n + 1) \frac{\lambda}{2}$ — max ослабл. (•)

5 Принцип Гюйгенса



6 Отражение волн



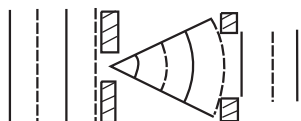
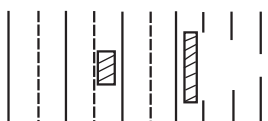
$$\left. \begin{array}{l} \tau = \frac{CB}{v} \\ AD = \tau \cdot v \end{array} \right\} \Rightarrow CB = AD$$

$$\Delta ABD = \Delta ACB \Rightarrow \alpha_1 = \beta_1$$

но $\left. \begin{array}{l} \alpha_1 = \alpha \\ \beta_1 = \beta \end{array} \right\} \Rightarrow \beta = \alpha$ (1 з-н отр.)

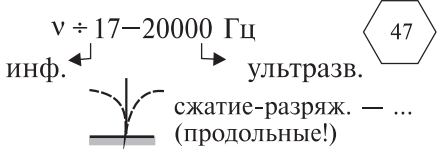
2 закон: луч падающий, луч отраженный, \perp лежат в одной плоскости

7 Дифракция волн — § (стр. 196)



8 Звуковые волны

Причины \nwarrow вибрация
упруг. среды



музык. звук
звук
шумы ($v \neq const$)

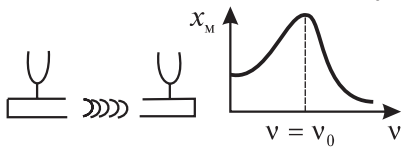
характ-ся громкостью (x_m) и высотой (v)

$v_{\text{воздл.}} = 331 \frac{\text{м}}{\text{с}}$

$v_{\text{воде}} = 1435 \frac{\text{м}}{\text{с}}$

$v_{\text{стали}} = 4980 \frac{\text{м}}{\text{с}}$

Акустический резонанс:



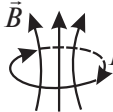
K 11/9

ЭЛЕКТРОМАГНИТНОЕ ПОЛЕ. ЭЛЕКТРОМАГНИТНЫЕ ВОЛНЫ

① Электромагнитное поле

$\sim B \rightarrow \sim E$ Из явления ЭМИ

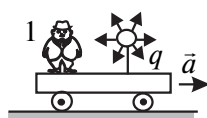
Если $\frac{\Delta B}{\Delta t} > 0$, то \vec{E} опр-ся левым винтом



$\sim E \rightarrow \sim B$ Максвелл из предпол.

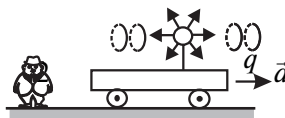
о единстве природы
Если $\frac{\Delta E}{\Delta t} > 0$, то \vec{B} опр-ся правым винтом

Итак: $\sim B \rightarrow \sim E \rightarrow \sim B \rightarrow \dots$

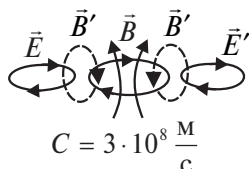


э/м поле

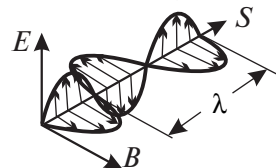
17



② Э/м волны — процесс распространения э/м поля



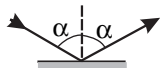
$$C = 3 \cdot 10^8 \frac{\text{м}}{\text{с}}$$



48

③ Свойства э/м волн

а) отражение



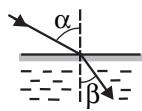
б) дифракция



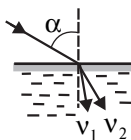
в) интерференция



г) преломление



д) дисперсия



е) поляризация

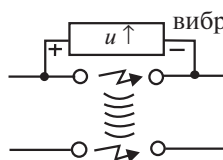


54

④ Опыты Герца

$$\frac{1}{L} \cdot C \quad W_{\text{волны}} \sim V^4$$

$$V = \frac{1}{2\pi\sqrt{L \cdot C}}$$



вибратор Герца

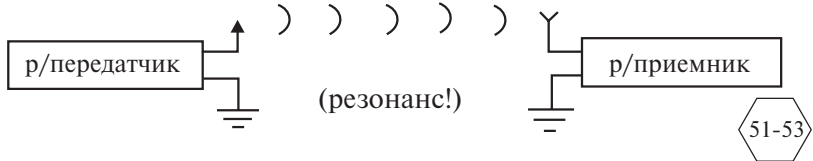


49

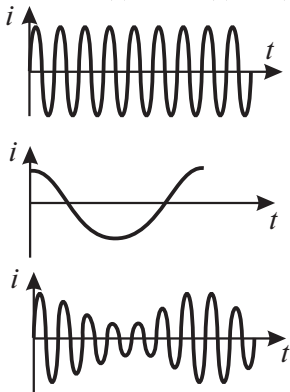
«q» должен двиг-ся с ускорением!

5 Принцип радиотелефонной связи

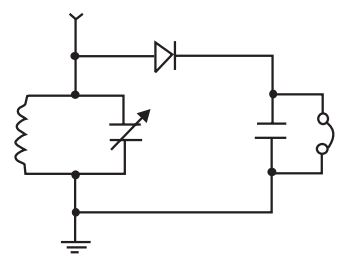
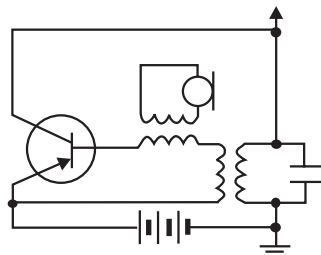
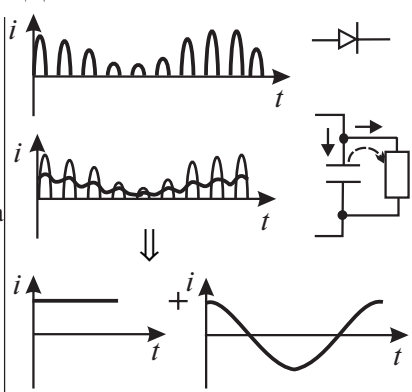
(А.С. Попов 1895 г.)



Амплитудная модуляция

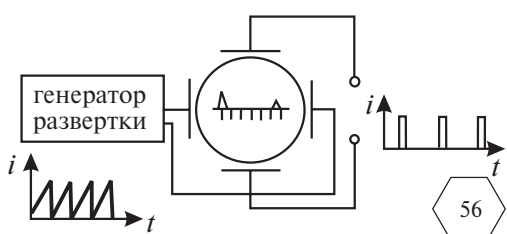
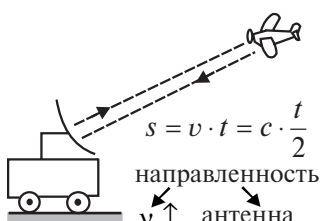


ДЕТЕКТИРОВАНИЕ



6 Радиолокация

(обнаружение и определение местополож. объекта радиоволнами)



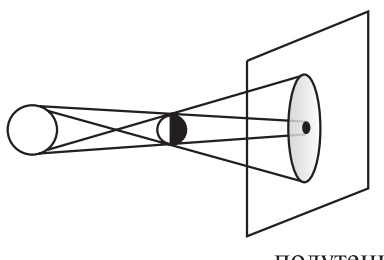
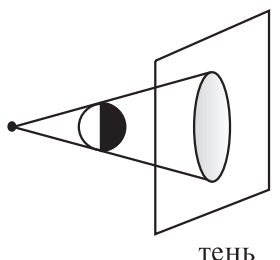
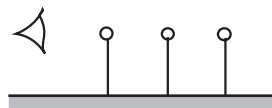
РАЗВИТИЕ ВЗГЛЯДОВ НА ПРИРОДУ СВЕТА



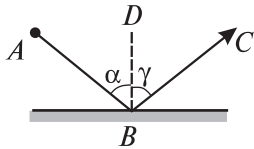
квантовая электродинамика
(дуализм свойств света)

ГЕОМЕТРИЧЕСКАЯ ОПТИКА

① Прямолинейное распространение света



2 Отражение света



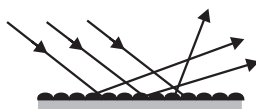
Законы:

- $\gamma = \alpha$
- AB, BC, BD в одной плоскости

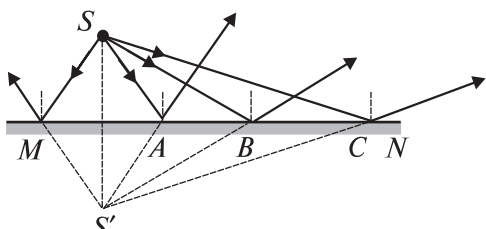
60



зеркальное



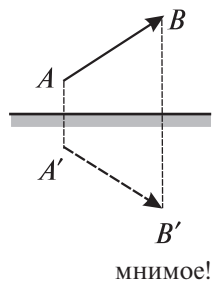
диффузное



$$\Delta SAB = \Delta S'AB$$

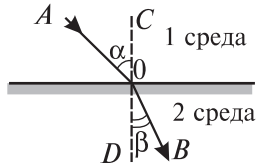


S' симметр. S



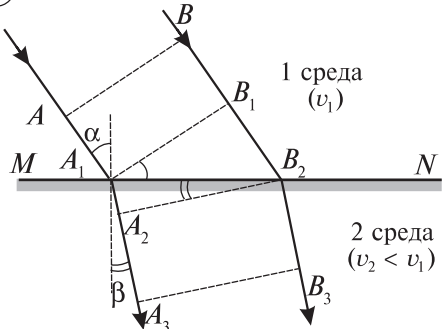
мнимое!

1 Законы преломления



- 1) AO, OB, CD — в одной плоскости
 2) $\frac{\sin \alpha}{\sin \beta} = n_{2,1}$

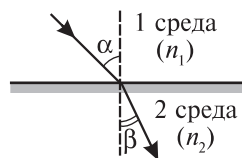
2 Физический смысл «n»



$$\Delta A_1 B_1 B_2 : B_1 B_2 = A_1 B_2 \cdot \sin \alpha \\ \Delta A_1 B_2 A_2 : A_1 A_2 = A_1 B_2 \cdot \sin \beta \\ \frac{B_1 B_2}{A_1 A_2} = \frac{\sin \alpha}{\sin \beta} = n_{2,1} = \frac{v_1 \cdot \lambda}{v_2 \cdot \lambda}$$

61

Если 1 среда вакуум (воздух), то $n = \frac{c}{v}$ — абсолютн. показат.



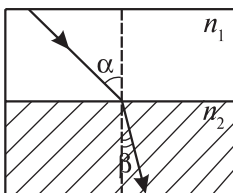
$$\left. \begin{array}{l} n_1 = \frac{c}{v_1} \\ n_2 = \frac{c}{v_2} \end{array} \right\} \frac{n_2}{n_1} = \frac{v_1}{v_2} = n_{2,1} = \frac{1}{n_{1,2}}$$

обратимость хода лучей

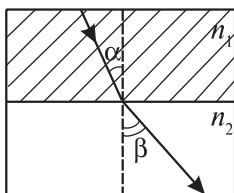
Итак:

$$n_{2,1} = \frac{\sin \alpha}{\sin \beta} = \frac{v_1}{v_2} = \frac{n_2}{n_1}$$

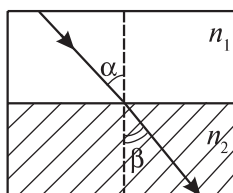
Среда, в которой «n» больше («v» меньше) — оптич. более плотная



$$n_2 > n_1$$

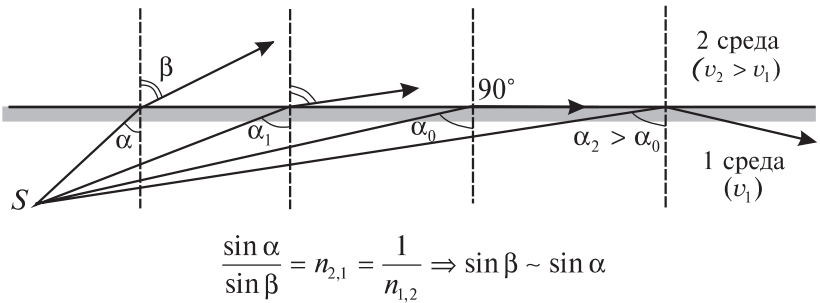


$$n_2 < n_1$$



$$n_2 = n_1$$

3 Полное отражение света



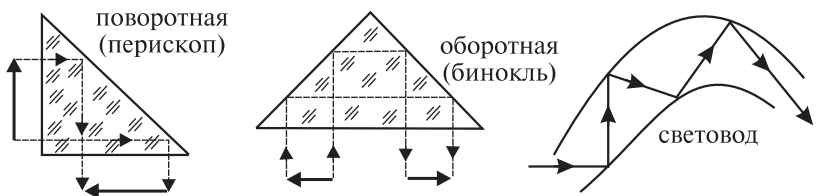
Если $\beta = 90^\circ$, то α — предельный угол

$$\left(\begin{array}{l} * \text{H-p: для воды: } n_{1,2} = 1,33 \Rightarrow \alpha_0 = 49^\circ \\ \text{для стекла: } n_{1,2} = 1,5 \Rightarrow \alpha_0 = 42^\circ \end{array} \right)$$

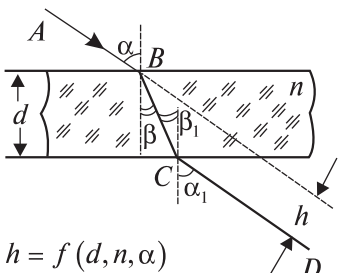
$$\sin \alpha_0 = \frac{1}{n_{1,2}}$$

62

Если $\alpha_2 > \alpha_0$, то $\sin \beta_2 > \sin 90^\circ$, что невозможно, сл-но при $\alpha > \alpha_0$ произойдет отражение

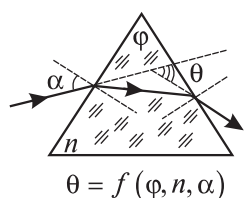


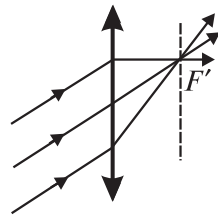
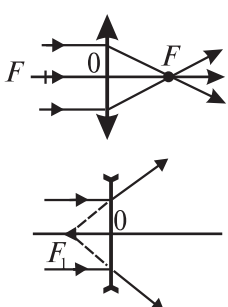
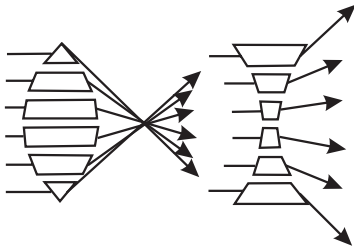
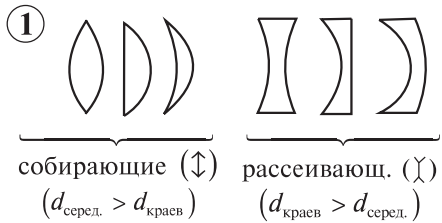
4 Плоскопараллельн. пластинка, треугольная призма



$$\begin{aligned} \text{т.Б. } & \frac{\sin \alpha}{\sin \beta} = n \\ \text{т.С. } & \frac{\sin \beta_1}{\sin \alpha_1} = \frac{1}{n} \\ & \frac{\sin \alpha}{\sin \beta} \cdot \frac{\sin \beta_1}{\sin \alpha_1} = 1 \\ & \sin \alpha = \sin \alpha_1 \end{aligned}$$

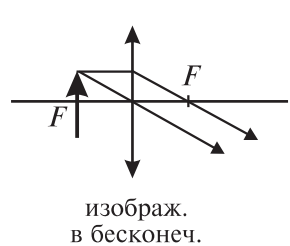
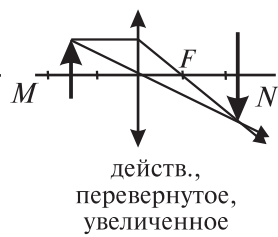
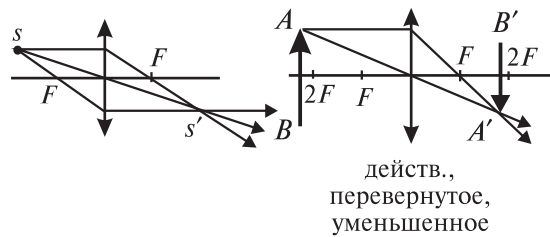
$$\Downarrow \\ AB \parallel CD$$



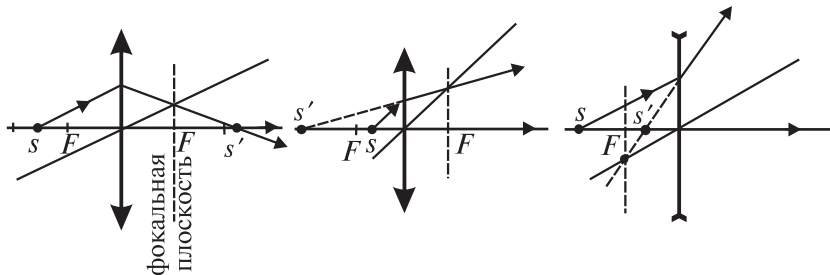


F — гл. фокус
 F_1 — мнимый фокус
 F' — фокус
 OF — фокусн. расст.

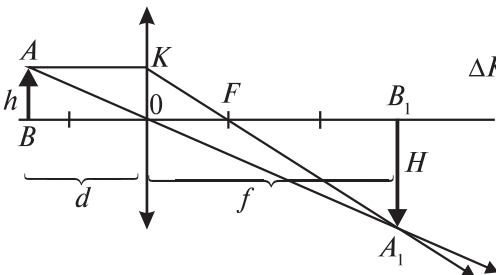
3 Построение изображения в линзах



4 Построение изображения в линзах



5 Формулы тонкой линзы



$$\Delta ABO \sim \Delta A_1 B_1 O: \frac{h}{H} = \frac{d}{f}$$

$$\Delta KOF \sim \Delta FB_1 A_1: \underbrace{\frac{KO}{H}}_{\frac{F}{FB_1}} = \frac{F}{FB_1}$$

$$\frac{d}{f} = \frac{F}{f - F}$$

$$\downarrow \\ df - dF = fF$$

$$: dfF | \quad \frac{1}{F} - \frac{1}{f} = \frac{1}{d} \Rightarrow \boxed{\frac{1}{f} + \frac{1}{d} = \frac{1}{F}}$$

$F > 0$, если линза собирающая

$F < 0$, если линза рассеивающая

$f > 0$, если изображение действител.

$f < 0$, если изображение мнимое

63-65

Δ — оптическая сила линзы

$$\Delta = \frac{1}{F} = (n - 1) \left(\frac{1}{R_1} + \frac{1}{R_2} \right)$$

$[\Delta] = \text{м}^{-1} = \text{дптр}$

$$\updownarrow \quad |\Delta| = \pm \Delta_1 \pm \Delta_2$$

$$l = 0$$

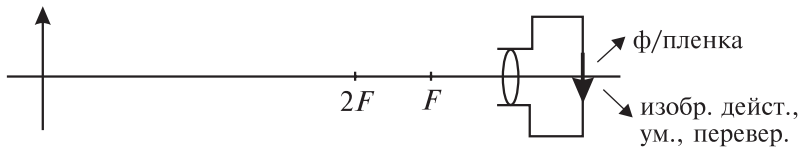
$$\boxed{\Gamma = \frac{H}{h} = \frac{f}{d}}$$

Γ — увеличение

H — высота изобр.

h — высота предм.

① Фотоаппарат

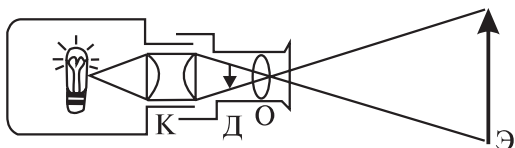


Резкость: $\frac{1}{F} = \frac{1}{d} + \frac{1}{f}$ — винтов. резьба, гармошка

Кол-во света: выдержка ($t_{\text{экспоз.}}$), диафрагма ($d_{\text{отвер. объект}}$)

$\rightarrow f$ (освещенности объекта, чувств. пленки, глубины резкости)

② Проекционный аппарат



Д — диапозитив

фильмоскоп,

К — конденсор

киноаппарат,

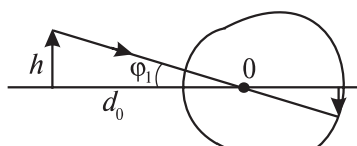
Э — экран

фотоувеличит.,

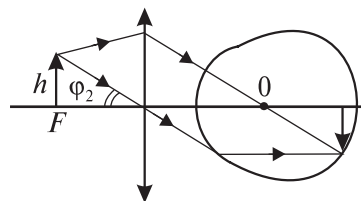
О — объектив

эпидиаскоп, ...

④ * Лупа



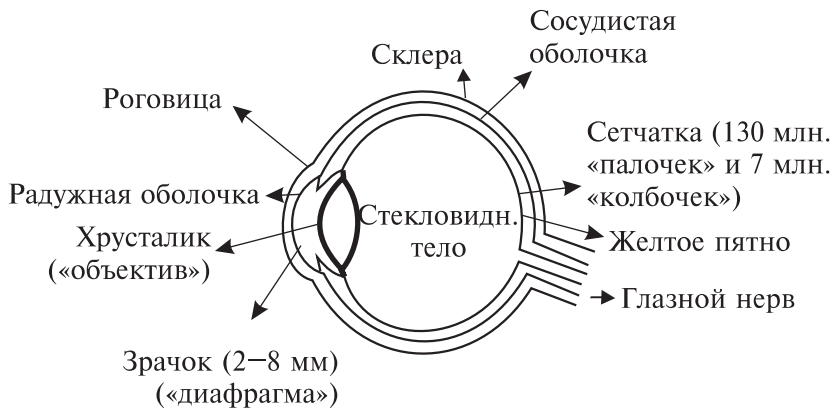
$$\varphi_1 = \frac{h}{d_0}$$



$$\varphi_2 = \frac{h}{F}$$

$$\Gamma = \frac{\varphi_2}{\varphi_1} = \frac{F}{h} = \frac{d_0}{F}$$

3) Глаз

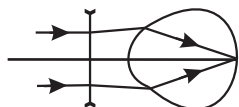
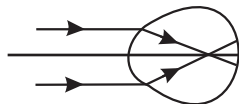


Аккомодация
(14 см — ∞)
 $d_0 = 25$ см — расстоян.
наилучш. зрения

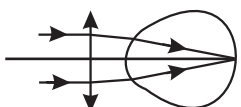
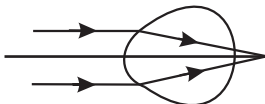


две т-ки раздельно при $\alpha \geq 1'$

Близорукость:



Дальнозоркость:



5)* Микроскоп

